

## جهش زایی هدایت یافته مکانی به منظور تولید پروتئین جهش یافته- Iranian rice-

### Y45W (Oriza sativa) NSLTP2

اعظم احمدی<sup>۱</sup>، مهران میراولیائی<sup>\*</sup>، مجید متولی باشی<sup>۱</sup>، عبدالرحیم صادقی<sup>۲</sup>، حمید ابطحی<sup>۳</sup> و زهرا اسلامی راد<sup>۲</sup>

<sup>۱</sup> اصفهان، دانشگاه اصفهان، دانشکده علوم، گروه زیست‌شناسی، بخش سلولی و مولکولی

<sup>۲</sup> اراک، دانشگاه علوم پزشکی اراک، دانشکده پزشکی، مرکز تحقیقات پزشکی و مولکولی

تاریخ دریافت: ۹۱/۱۲/۲ تاریخ پذیرش: ۹۲/۵/۱۴

#### چکیده

nsLTP2 (nonspecific lipid transfer protein) ها پروتئینهای گیاهی هستند که بر اساس وزن مولکولی به دو گروه nsLTP1 و nsLTP2 تقسیم بندی می‌شوند. این پروتئینها بسیار مقاومند و علاوه بر پتانسیل حمل داروها می‌توانند آنها را در برابر اکسیداسیون یا تجزیه شدن محافظت کنند. nsLTP2 برنج پروتئینی است که به دلیل توانایی ذاتی عبور از غشاء و اتصال به ترکیبات استروئیدی (از جمله برخی ترکیبات داروئی) پتانسیل استفاده در سیستمهای تحويل دارو را دارد. در این تحقیق با هدف افزایش خاصیت فلورسانس در ژن *Iranian rice nsLtp2* (Oriza sativa) جهش‌های هدایت یافته مکانی ایجاد گردید. برای ایجاد جهش از تکنیک SOE-PCR (splicing by overlap extension-polymerase chain reaction) در تبدیل اسیدآمینه تیروزین ۴۵ به تریپتوфан (Y45W) ژن nsLTP2 استفاده شد. مطالعات انجام شده بر روی سایر گونه‌های این پروتئین حاکی از افزایش خاصیت فلورسانس در اثر ایجاد این نوع جهش است. در مرحله بعد با تکثیر قطعات جهش یافته و تأیید جهش ایجاد شده توسط توالی یابی، محصول جهش یافته در وکتور pET32-a<sup>-</sup> کلون و پس از بیان در سویه بیانی *BL21(DE3)pLYSs* پروتئین تغییر یافته حاوی His-tag تخلیص و وجود پروتئین با استفاده از وسترن بلات تایید گردید. امید می‌رود این پروتئین بتوان به عنوان یک انتقال دهنده داروئی به خصوصیات داروهای درمان سرطان استفاده شود.

واژه‌های کلیدی: جهش زایی، nsLTP2، SOE-PCR، تحویل داروئی

\* نویسنده مسئول، تلفن: ۰۳۱۳۷۹۳۲۴۷۵، پست الکترونیکی: m.miroliaei@sci.ui.ac.ir

#### مقدمه

LTP2 (nonspecific lipid transfer protein) ها پروتئینهای گیاهی مسئول انتقال فسفولیپیدها و سایر اسیدهای چرب بین غشاهای سلول هستند (۲۲ و ۲۳). این تعداد ۲۷ اسید آمینه مربوط به سیگناال پیتیدی است که در انتهای آمین (N) آن قرار گرفته است (۳). همانند سایر مولکولهای LTP، چهار باند دی سولفیدی برای ثبت ساختار پروتئین ضروری می‌باشد (۱۸). عملکرد این پروتئین مداخله در فرآیندهای فیزیولوژی گیاه شامل بیوستز لایه کوتین، پیام رسانی دفاعی (۲)، مدیریت در شرایط استرس (۸) و تنظیم بتاکسیداسیون اسیدهای چرب در گلی اکسیزوم است. به علاوه، این پروتئین دارای گونه‌های گیاهی حفاظت شده هستند (۱۹).

های اسیدآمینه کلیدی در فعالیت زیستی آن را تغییر داده است.

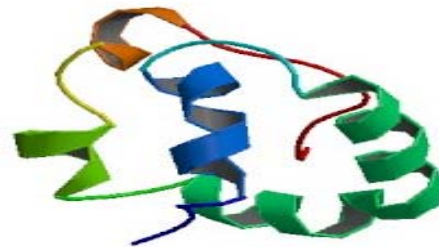
جهش زایی آزمایشگاهی (*In vitro mutagenesis*) تکنیکی ارزشمند جهت مطالعه ساختار و عملکرد اسیدهای نوکلئیک و پروتئینها است. سه روش ایجاد جهش زایی هدایت یافته مکانی (SDM) وجود دارد که در روشهای جهش زایی به کمک PCR از پرایمرهای حاوی جهش برای سنتز توالی مورد نظر استفاده می‌شود. در برخی از تحقیقات با استفاده از ایجاد جهش‌های نقطه‌ای در این پروتئین تغییراتی داده اند (۱۵ و ۴). در این مطالعه با استفاده Splicing by Overlap ) SOE-PCR يا SDM ( از تکنیک Extention-PCR (جهش Y45W در LTP2 گیاه برنج (*Oryza sativa*) انجام شده است.

## مواد و روشها

بررسیهای بیوانفورماتیک: ساختار سه بعدی پروتئین rice-LTP2 قبل و بعد از اعمال جهش با کمک نرم افزار molegro virtual docker (MVD)، نسخه Trial، بررسی گردید.

ایجاد جهش Y45W با استفاده از تکنیک SOE-PCR :  
 پرایمرهای ۵'-r1 زایی جهش f1 و ۵'-f1 (CGTAGCGCCCCCCAGCGCGGGTCCTTG-3'  
 (5'-CAAGGACCCCGCTGGGGCGCTACG-3')  
 به منظور ایجاد جهش و دو پرایمر ۵'- F-ltp CTGGGTACCGACGACGACGACAAGGCCGGT ۵'- R-ltp و (TGCAACGC-3'  
 به (TAACTCGAGGTGGCAGGTGGGGAGGGC-3'  
 منظور کلون قطعات جهش یافته در وکتور pET32-a طراحی شدند. در انتهای ۵' پرایمر F-ltp جایگاه برش آنزیم KpnI و جایگاه برش انتروکیناز و سپس توالی ژن ltp از نوکلئوتید ۷۹ تا کدون پایان قرار گرفت و در انتهای ۵' پرایمر R-ltp جایگاه برش آنزیم Xhol قرار داده شد. به

یکسری خواص منحصر به فرد از جمله ایجاد آرژنین (۲۴ و ۱۰)، خواص ضد حشره‌ای، ضد قارچی، مقاومت در برابر گرما و مواد دنا توره کننده، پایداری در برابر برخی از پروتئازها (۱۳) و توانایی اتصال و انتقال یکسری ترکیبات خاص (۷ و ۴) می‌باشد.



mmrklavlvlavamvaacgggvvgvagagenagqltvctgaiagg  
arptaacecsslraqqgefcefakdprygrvynspnarkavsscgpalptc  
h

شکل ۱- نمایی از ساختار LTP2 در سایت PDB (1L6H) و توالی ۹۶ اسیدآمینه ای آن

[http://upload.wikimedia.org/wikipedia/commons/1/1a/PDB\\_1L6H\\_EBI.jpg](http://upload.wikimedia.org/wikipedia/commons/1/1a/PDB_1L6H_EBI.jpg)

توانایی اتصال و انتقال ترکیبات از طریق حفره هیدروفوتبیکی که قادر به پذیرش زنجیر آسیل است اعمال می‌شود. این پروتئین به دلیل توانایی اتصال به طیف وسیعی از مولکولهای لپیدی، پتانسیل استفاده در سیستم تحويل دارو را دارد (۱۶ و ۲۵).

امروزه اکثر سیستمهای تحويل داروی به دنبال افزایش کارآیی از طریق حفاظت ترکیبات داروئی در برابر شرایط محیطی و تجزیه شدن هستند. حاملین داروئی نه تنها باید با کارآیی بالا به دارو متصل شوند بلکه به منظور کاهش اثرات سمی دارو بر سلولها، باید دارو را در نزدیکی سلولهای هدف آزاد کنند. بر این اساس به منظور افزایش توانمندیهای این پروتئین در سیستمهای تحويل دارو لازم است در ساختار آن تغییراتی صورت پذیرد. پروژه حاضر به منظور ارتقای برخی توانمندی‌های زیستی این پروتئین با استفاده از تکنیک جهش زایی هدایت شده برخی ریشه

بر روی کلینیهای تولید شده در مرحله قبل، کلنی PCR انجام شد.

بیان پروتئینهای نوترکیب در باکتریهای ترانسفورم شده: کلینیهای ترانسفورم شده نوترکیب به سلولهای مستعد pLYSs پس از کشت شبانه روزی در محیط LB برات حاوی آمپی سیلین ( $100\mu\text{g/ml}$ ) و کلرامفینیکل ( $0.34\mu\text{l/ml}$ ) در محیط القا کشت داده شدند. رسوبهای حاصل پس از القاء توسط IPTG بر روی ژل ۱۲ درصد SDS PAGE لود گردیدند.

تخلیص پروتئین از سلولهای بیان کننده پروتئین جهش یافته و وسترن بلاستینگ: سلولهای بیان کننده پروتئینهای جهش یافته حاصل از مرحله قبل، پس از سانتریفیوژ و جداسازی رسوب توسط ستون Ni (Ni-NTA, Qiagen) تخلیص و وجود آنها با وسترن بلاست توسط آنتی بادی کونژوگه علیه His-Taq (Qiagen) تأیید گردید. در تکنیک وسترن بلاستینگ انجام شده در این مطالعه تنها یک نوع آنتی بادی (آنتی بادی کونژوگه با His-Taq) مورد استفاده قرار گرفت. نکته مهم در استفاده از این آنتی بادی اینکه برای رقیق نمودن آن به جای استفاده از بافر بلوکه کننده، از بافر حاوی توئین با نسبت ۱:۱۰۰۰ استفاده گردید.

جدول ۱- مقایسه برخی خصوصیات نوع وحشی و نوع جهش یافته MVD LTP2 (Y45W) در LTP2 (Y45W)

(Y45W)	نوع جهش یافته	نوع وحشی
30.696	36.352	(A <sup>۰۳</sup> ) حجم حفره
78.02	84.48	(A <sup>۰۲</sup> ) سطح حفره
-5.784	-4.427	Kcal/ (mol)

### نتایج

بررسیهای انجام گرفته با نرم افزار MVD حاکی از عدم تغییر در ساختار rice-ns LTP2 قبل و بعد از اعمال جهش بود. جدول ۱ حاوی برخی از پارامترهای بررسی شده توسط این نرم افزار است.

گونه‌ای که پس از تکثیر، این دو جایگاه آنزیمی *XbaI* و *KpnI* در دو طرف ژن جهش یافته قرار گیرند.

تکنیک SOE-PCR توسط سه نوع واکنش مجزا با دمای اتصال ۵۹,۳ درجه سانتی گراد به نحوی انجام گردید که در واکنش اول و دوم پرایمرهای *F*, *R*, *fII* و *rII* به ترتیب قطعات ۱۶۹ و ۹۹ bp را تولید کردند. سپس این قطعات به عنوان الگو برای تشکیل قطعه ای ۲۴۳ bp با پرایمرهای *F*, *R* استفاده شدند.

با توجه به اینکه پرایمر *F-ltp* نسبت به *R-ltp* اندازه بزرگتری دارد برای جلوگیری از تکثیر ساختارهای ثانویه از موادی مثل DMSO و بتائین استفاده شد. اندازه قطعه نهایی حاصل از تکثیر توسط این دو پرایمر ۲۴۳bp است.

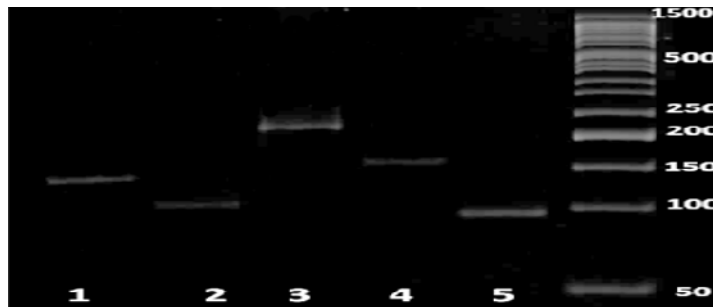
توالی یابی: به منظور تأیید ایجاد جهش محصولات PCR برای توالی یابی با دستگاه Applied Biosystem با واسطه شرکت سیناکلون به شرکت Source BioScience انگلستان فرستاده شد.

کلینینگ محصولات حاوی جهش درون وکتور **pET-32a**: هضم آنزیمی و الحاق: به منظور قرار دادن قطعات حاوی جهش در وکتور *pET-32a* ابتدا محصولات PCR و وکتور تحت اثر برش با آنزیمهای محدود کننده *xbaI* و *kpnI* قرار گرفتند. پس از ایجاد انتهای‌های چسبنده در قطعه و وکتور برش خورده، وکتور و قطعه *insert* با نسبت مولی ۱ به ۳ با کمک آنزیم T4 (فرمتاز) به هم متصل شدند.

ترانسفورماسیون وکتور نوترکیب به داخل باکتری *E. coli* (سویه *pLYSs*): محلول ligation حاصل از مرحله قبل با روش ایجاد شوک حرارتی به سلولهای مستعد *pLYSs* منتقل و سپس باکتری‌ها روی پلیت LB حاوی کلرامفینیکل ( $0.34\mu\text{l/ml}$ ), به مدت یک شبانه روز انکوبه شدند. به منظور تأیید صحت انجام ترانسفورماسیون

شده می‌باشد.

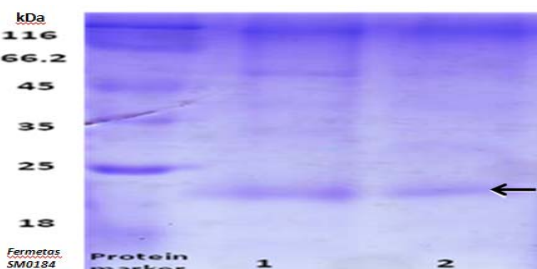
اندازه قطعات حاصل از تکثیر پرایمرهای ذکر شده در تکنیک SOE-PCR نشان دهنده صحت پرایمرهای طراحی



شکل ۲- قطعات جهش یافته برای تولید جهش‌های Y45W بر روی ژل آکریل آمید ۸ درصد: ستونهای ۲ و ۴ به ترتیب قطعات 99bp و 169bp (به ترتیب حاصل از تکثیر پرایمرهای R, F, rI, fII) و ۳ نشان دهنده قطعه 243bp یافته Y45W حاصل از تکثیر قطعات ستونهای ۲ و ۵ به عنوان template است. ستونهای ۱ و ۵ مربوط به تکثیر قطعات با جهش‌های دیگر است.

غیراختصاصی افزایش داشت. در شکل ۴ این پروتئینهای تخلیص شده توسط پیکان بر روی ژل مشخص شده است.

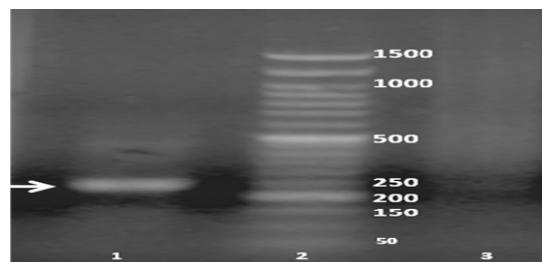
صحت حضور جهش Y45W در ژن LTP2 با تعیین توالی DNA تأیید گردید.



شکل ۴- پروتئین تخلیص شده جهش یافته (ژل SDS PAGE (15%))

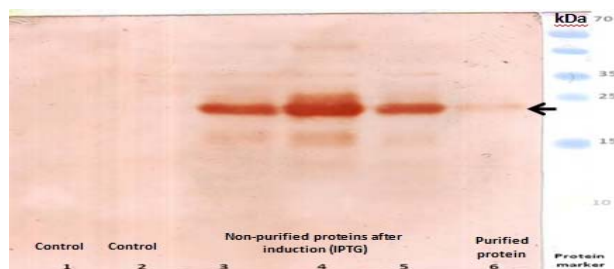
در تکنیک وسترن بلاط به منظور تأیید پروتئینهای بیان شده حاوی برچسب 6-His، از آنتی بادی کونژوگه علیه 6-His استفاده شد. باندهای ظاهر شده حاصل از این آزمایش در شکل ۵ نشان داده شده است. همان‌طور که در ستون ۶ این شکل مشخص شده است باند حدود ۲۵ کیلو دالتون نشان دهنده پروتئین تخلیص شده حاوی 6His-taq می‌باشد که توسط ستون نیکل تخلیص شده است و به همین دلیل نسبت به سایر ستونها که مربوط به محلول‌های پروتئینی پس از القا بدون انجام فرآیند تخلیص هستند، غلطت کمتری دارد.

به منظور تأیید صحت انجام ترانسفورماسیون کلینیکی تولید شده، کلینی PCR انجام شد. محصول ۲۴۳ جفت بازی حاصل از تکثیر کلینی حاوی پلاسمید نوترکیب، در شکل ۳ نشان داده شده است.



شکل ۳- کلینی PCR از کلینیکی ترسفرورم شده روی ژل آگاراز ۱٪: باند مشخص شده با فلاش نشان دهنده محصول PCR حاصل از تکثیر کلینی نوترکیب با پرایمرهای R-ltp, F-ltp می‌باشد.

پس از بیان پروتئینهای جهش یافته، رسوب سلولی حاصل سانتریفیوژ، لیز و پروتئین مورد نظر توسط ستون Ni و تحت شرایط دناتوره کننده تخلیص شد. تحت این شرایط به دلیل در معرض بودن 6-His taq در پروتئین فیوژن بیان شده، اتصال به ماتریکس Ni-NTA بیشتر شده و کارآیی فرآیند تخلیص توسط کاهش پتانسیل برای اتصالات



شکل ۵- باندهای پروتئینی ظاهر شده روی کاغذ نیتروسلولز در سترن بلاستینگ: ستون ۱ و ۲ به ترتیب حالت‌های کترلی قبل از القاء توسط IPTG و حالت بیان فاقد وکتور نوتریکیب و ستونهای ۴، ۵ و ۶ پروتئینهای بیان شده پس از القاء توسط IPTG (۱mM) را نشان می‌دهند. ستون ۶ هم مریبوط به پروتئین تخلیص شده است.

برای ایفای فعالیت پروتئین rice nsLTP2 الزامی است. با توجه به موارد ذکر شده جایگزینی تیروزین با تریپتوфан، حاوی زنجیر جانبی با دو حلقه آروماتیک، به منظور افزایش خاصیت فلورسانس rice-nsLTP2 انتخاب گردید. در مطالعات بیوانفورماتیکی پروتئینها از نرم افزارهای مختلفی استفاده می‌شود (۱۱). داده‌های نرم افزاری مشخص کرد ایجاد جهش Y45W علاوه بر افزایش فلورسانس، تعامل اتصالی آن را هم افزایش می‌دهد (جدول ۱) و ردیابی درون سلولی از طریق بررسی خاصیت فلورسانس امکان پذیر خواهد بود (۹).

تکنیک جهش زایی در جایگاه اختصاصی (SDM) تکنیکی ارزشمند جهت تعیین نقش یک ژن یا تغییر فعالیت آن می‌باشد. در مطالعه حاضر به منظور انجام SDM، تکنیک SOE-PCR انجام گرفت و پس از طراحی پرایمرهای جهش زا، محصولات PCR اول و دوم، به عنوان الگو برای انجام PCR سوم با پرایمرهای رفت و برگشت اصلی (F) و (R) استفاده شدند. ژن کد کننده LTP2 برنج فاقد ایtron و غنی از نوکلئوتیدهای G و C است. به دلیل وجود تعداد زیاد این نوکلئوتیدها در توالی نوکلئوتیدی ژن *ltp2* (۲۰) در واکنش PCR برای جلوگیری از ساختارهای ثانویه پرایمرها از مواد شکننده DMSO و بتائین استفاده شد.

پس از ایجاد جهش در ژن *ltp2* توالی جهش یافته حاصل در پلاسمید pET32-a کلون شد. طراحی پرایمرهای F و R به گونه‌ای صورت پذیرفت که توالی جهش یافته حاصل

## بحث

ویژگیهای ساختاری پروتئین LTP در فعالیت زیستی آن نقش مهمی را ایفاء می‌کند. توانایی اتصال به یکسری ترکیبات خاص و انتقال آنها از طریق حفره هیدروفوبیکی که قادر به پذیرش زنجیر آسیل است اعمال می‌شود (۲۱ و ۲۲). مطالعات گذشته بر روی این مولکول حاکی از حفظ فعالیت بیولوژیکی در شرایط *in vitro* است. در سال ۲۰۰۴ Cheng پتانسیل ساختاری و بیولوژیکی این پروتئین در سیستم تحويل دارویی را عنوان نمود. وی با ایجاد موتاسیون نقطه‌ای فلورسانس پروتئین را افزایش داد (۵). بر اساس مطالعات Cheng (۶) اعمال جهش Y45W علی‌رغم عدم تغییر در ساختار پروتئین، منجر به افزایش خاصیت فلورسانس شد. خاصیت فلورسانس پروتئین پس از اتصال لیگاند تغییر قابل ملاحظه ای نشان نمی‌دهد. در تحقیق حاضر با هدف افزایش خاصیت فلورسانس، در ژن (Oriza sativa) *nsltp2* برنج ایرانی جهش‌های هدایت یافته مکانی ایجاد گردید. اسید آمینه تریپتوфан نسبت به تیروزین محصول کوانتمی خیلی قوی تری دارد. به همین دلیل برای بهبود حساسیت یکی از ریشه‌های تیروزین با اسید آمینه تریپتوfan جایگزین شد (۵). از نظر ساختاری، به دلیل قدرت هیدروفوبیسیته مشابه در تیروزین و تریپتوfan، جایگزین Y45 با تریپتوfan کونفورماسیون طبیعی پروتئین حفظ می‌شود (۱۲) و جهش یافته Y45W از نظر ساختاری ثابتیت می‌گردد. به علاوه وجود ریشه آروماتیک

6-His توسط وسترن بلات و استفاده از آنتی بادی کونژوگه علیه 6-His انجام گرفت.

با ارتقای برخی خصوصیات در پروتئین LTP از جمله افزایش خاصیت فلورسانس (با ایجاد جهش Y45W) می-توان قابلیت استفاده از آن را افزایش داد و با تکنیک کلینینگ توسط وکتور بیانی پروکاریوتی آن را در مقیاس وسیع تولید کرد. در تحقیقات آتی امید می‌رود پس از برش آنزیمی این پروتئین با انتروکیناز و تعیین ساختارهای سه بعدی با کمک تکنیک‌هایی مثل NMR و RP-HPLC از آن به عنوان یک حامل داروئی استفاده گردد.

### تشکر و قدردانی

مؤلفین مراتب امتنان خود از (INSF) و بخش تحقیقات سلولی و مولکولی دانشگاه اصفهان و مرکز تحقیقات پزشکی و مولکولی دانشگاه علوم پزشکی اراک به دلیل پشتیبانی تجهیزات و امکانات و کلیه همکارانی که در انجام این پژوهش باری رساندند صمیمانه تشکر و قدردانی می‌نمایند.

بین دو جایگاه آنزیم برش *KpnI* و *XbaI* موجود در جایگاه MCS این وکتور قرار گیرد. با کمک کلون این ژن (N-terminal domain) NTD pET32-a در LTP جهش یافته توالی 6-His وارد شده و پروتئین فیوژن حاصل به راحتی توسط ستون نیکل آگارز جداسازی گردید.

به منظور بیان پروتئینهای نوترکیب از سیستمهای متفاوت یوکاریوتیک (۲۶ و ۲۷) و پروکاریوتیک استفاده می‌شود. در این مطالعه سویه باکتریایی BL21pLYSs(DE3) برای بیان انتخاب شد. این سویه جهت بیان وکتورهایی مثل pET که تحت کنترل پروموتور T7 هستند، مناسب است. در تحقیق حاضر با وجود سیستم بیانی و تحت کنترل موجود در سویه باکتریایی BL21pLYSs(DE3)، از خاصیت ضد باکتریایی nsLTP2 استفاده گردید. نهایتاً پروتئین بیان شده تولیدی در این سویه که به صورت فیوژن با His-taq است، تحت شرایط دناטורه کننده و به کمک ستون نیکل تخلیص گردید و تأیید نهایی حضور پروتئین جهش یافته متصل به

### منابع

1. Abascal, F., Zardoya, R., and Posada, D. 2005. ProtTest: selection of best-fit models of protein evolution. *Bioinformatics*. 21, 2104–2105.
2. Bharat, B. 2006. Expression of the lipid transfer protein Ace-AMP1 in transgenic wheat enhances antifungal activity and defense responses Subhankar Roy Barman Christof Sautter, *Transgenic Res.* 15:435–446
3. Carvalho, A.O. Gomes, V.M. 2007. Role of plant lipid transfer proteins in plant cell physiology. A concise review. *Peptides*, 28(5pp), 1144-1153.
4. Cheng, C.S., Chen, M.N., Lai, Y.T., Chen, T., Lin, K.F., Liu, Y.J. and Lyu, P.C. 2008. Mutagenesis study of rice nonspecific lipid transfer protein 2 reveals residues that contribute to structure and ligand binding. *Proteins*. 70, 695–706.
5. Cheng, C.S., Chen, M.N., Liu, Y.J., Huang, L.Y., Lin, K.F. and Lyu, P.C. 2004. Evaluation of plant non-specific lipid-transfer proteins for potential application in drug delivery. *Enzyme and Microbial Technology*. 35, 532-539.
6. Cheng, H.C., Cheng, P.T., Peng, P., Lyu, P.C. and Sun, Y.J. 2004. Lipid binding in rice nonspecific lipid transfer protein-1 complexes from *Oryza sativa*, *Protein Science*. 13:2304–2315.
7. Elmorjani, K., Lurquin, V., Lelion, A., Rogniaux, H. and Marion, D. 2004. A bacterial expression system revisited for the recombinant production of cystine-rich plant lipid transfer proteins. *Biochemical and Biophysical Research Communications* 316, 1202–1209.
8. Gonorazky, A.G., Regente, M.C. and de la Canal, L. 2005. Stress induction and antimicrobial properties of a lipid transfer protein in germinating sunflower seeds., *J Plant Physiol.* 162(6):618-24
9. Guinness, L.P., Yan, Y., Stacey, A., Simpson, D.A., Hall, L.T., Maclaurin, D., Prawer, S., Mulvaney, P., Wrachtrup, J., Caruso, F.,

- Scholten, R.E. and Hollenberg, L. C. L. 2011. Quantum measurement and orientation tracking of fluorescent nanodiamonds inside living cells, *Nature Nanotechnology*.nnano. 64
10. Hartz, C., Lauer, I., Del Mar San Miguel Moncin, M., Cistero-Bahima, A., Foetisch, K., Lidholm, J., Vieths, S. and Scheurer, S. 2010. Comparison of IgE-Binding Capacity, Cross-Reactivity and Biological Potency of Allergenic Non-Specific Lipid Transfer Proteins from Peach, Cherry and Hazelnut Int Arch Allergy Immunol. 153:335–346
11. Keith, J.M., 2008. Methods In Molecular Biology, Bioinformatics, Structure, Function and Applications, Volume II, Australia, John Walker, Hatfield, Hertfordshire. 39
12. Kyte, J., Doolittle, R.F., 1982. A simple method for displaying the hydrophobic character of a protein. *J Mol Biol.* 105:32
13. Larsen, K.L. and Winther, J.R. 2001. Surprisingly high stability of barley lipid transfer protein, LTP1, towards denaturant, heat and proteases. *Federation of European Biochemical Societies* 488,145-148.
14. Liu, Y.J., Samuel, D., Lin, C.H. and Lyu, P.C. 2002. Purification and characterization of a novel 7-kDa non-specific lipid transfer protein-2 from rice (*Oryza sativa*). *Biochemical and Biophysical Research Communications.* 294, 535-540.
15. Pellerin, V.L., Devaux , C., Ihorai , T., Marion, D., Pahin, V., Joudrier, P. and Gautier , M. 1999. Production in *Escherichia coli* and site-directed mutagenesis of a 9-kDa nonspecific lipid transfer protein from wheat. *Eur. J. Biochem.* 260, 861–868.
16. Pii, P., Astegno, A., Peroni, E., Zaccardelli, M., Pandolfini, T. And Crimi, M. 2009. The *Medicago truncatula* N5 Gene Encoding a Root-Specific Lipid Transfer Protein Is Required for the Symbiotic Interaction with *Sinorhizobium meliloti*. *MPMI* 1. 22(12), 1577–1587.
17. Reece, R.J. 2003. Analysis of Genes and Genomes, John Wiley and Sons Ltd, Southern Gate, Chichester, West Sussex PO19 8SQ, England, chapter7,P. 285
18. Samuel, D. Liu, Y.J., Cheng, C.S. and Lyu, P.C. 2002. Solution Structure of Plant Nonspecific Lipid Transfer Protein-2 from Rice (*Oryza sativa*). *The Journal of Biological Chemistry.* 277. 38, 35267–35273.
19. Salcedo, G., Sanches-Monge, R., Diaz-Perales, G. and Barber, D. 2004. Plant non-specific lipid transfer proteins as food and pollen allergens. *J. Clin. Exp. Allergy.* 34: 1336-1341.
20. Vignolsb, F., Lund, G., Pammi, S., Trkmousaygue, D., Grellet, F.C., Kaderb, J.C., Puigdom, P. and Delseny. M. 1994. Characterization of a rice gene coding for a lipid transfer protein (Recombinant DNA; plant; *Oryza sativa*; promoter sequence; gene expression) *Gene*, 142. 1994, 2655270
21. Wang, S.Y., J.H. Wu, T.B. Ng, X.Y. Ye and P.F. Rao, 2004. A non –specific lipid transfer protein with antifungal and antibacterial activities from the mung bean. *Peptides.* 25: 1235-1242
22. Yeats, T.H. and Rose, J.C. 2008. The biochemistry and biology of extracellular plant lipid-transfer proteins (LTPs). *Protein Science.* 17, 191–198.
23. Zachowski, A., Guerbette, F., Grosbois, M., Jolliot-Croquin, A. and Kader, J.C. 1998. Characterisation of acyl binding by a plant lipid-transfer protein, *Eur. J. Biochem.* , FEBS. 257, 4432448
24. Zoccatelli, G., Pokoj, S., Foetisch, K., Bartra, J., Valero, A. Del Mar San Miguel-Moncin, M., Vieths, S. and Scheurer, S. 2010. Identification and characterization of the major allergen of green bean (*Phaseolus vulgaris*) as a non-specific lipid transfer protein (Pha v 3), *Molecular Immunology* 47. 1561–1568
25. Zottich, U., Cunha M.D., Carvalho, A.O., Dias, G.B., Silva, C.M., Santos, I., Nascimento, N., Miguel, E.C., Macado,O.L. and Gomes, V.M. 2011.Purification, biochemical characterization and antifungal activity of a new lipid transfer protein (LTP) from *Coffea canephora* seeds with  $\alpha$ -amylase inhibitor properties. *Biochim Biophys Acta.*1810(4):375-83.
26. Nazari, R. , Davoudi, N., and Barkhordari, F. 2011. Cloning of new form of human tissue plasminogen activator (K2S) in eukaryotic system. *Iranian journal of biology.* 24 (5): 632-639
27. Vafa, M., Yakhchali, B., Haghnazari, A., Karkhane, A.A., Rastgar-jazi, F., and Ahmadi Danesh, H. 2011. Cloning and secretive expression of *Bacillus thermocatenulatus* BTL2 lipase in *Pichia pastoris* Using natural and yeast  $\alpha$  factor signal sequences. *Iranian journal of biology.* 24 (5): 640-647

## Site directed mutagenesis to produce mutant Iranian rice-NSLTP2 (*Oriza sativa*) protein that contains Y45Wmutation

Azam Ahmadi<sup>1</sup>, Mehran Miroliaei<sup>1\*</sup>, Majid Motvali Bashi<sup>1</sup>, Abdorahim Sadeghi<sup>2</sup>, Hamid Abtahi<sup>2</sup>, Zahra Eslami Rad<sup>2</sup>

<sup>1</sup> Biochemistry and Molecular Biology Division, Biology Dept., University of Isfahan, I.R. of Iran

<sup>2</sup> Center of Molecular Medicine Research, Faculty of Medicine, Medical University of Arak , I.R. of Iran

### Abstract

NsLTPs (nonspecific lipid transfer proteins) are plant proteins subdivided into nsLTP1(9kDa) and nsLTP2 (7kDa) according to the molecular weight. These highly stable proteins can protect drugs against oxidation or degradations. Rice nsLTP2 due to the inherent ability to cross biological membranes and bind to steroid compounds (including some pharmaceutical compounds) have potential application for use in drug delivery systems. To enhance the biological capability of this protein in this system, structural alterations are indispensable. These alterations can be created by desired mutations in the encoding genes. Analysis by different software showed that the hydrophobic cavity of the active site plays a prominent role. After designing of mutagenic primers (Tyrosine 45 to Tryptophan (Y45W)) the method of SOE-PCR was used to perform site directed mutagenesis in the gene of rice nsLTP2. Wild type nsLTP2 was cloned into the PGE6p2 vector. This wild type plasmid was used as a template for constructing the mutant fragment and designed mutant primers are used for amplification of mutant fragments. Mutant rice nsLTP2 are expressed in the pET32a vector in to the Ecoli BL21 (DE3) strain. After the amplification of the mutant fragments and confirmation of mutations generated by sequencing, the mutant constructs cloned into the pET32a vector and the fusion mutant protein with a His-tag was purified by Ni-NTA affinity chromatography. The purpose was to create mutations with increased fluorescence signals. We hope that, in the future, these findings would be helpful in creating biosensors or as drug carrier vehicles.

**Key words:** nsLTP2, mutagenesis, SOE-PCR, Drug Delivery System